Л. В. БАБЕНКОВА, Н. М. ПОПОВА, академик АН КазССР Д. В. СОКОЛЬСКИЙ В. К. СОЛНЫШКОВА

## ТЕРМОДЕСОРБЦИЯ ВОДОРОДА ИЗ ПАЛЛАДИЕВОЙ ЧЕРНИ

Изучению взаимодействия водорода с палладием посвящено большое число работ. Однако вопрос о состоянии адсорбированного водорода и о возможности его разграничения с растворенным недостаточно ясен.

В данной работе исследовалась термодесорбция водорода в режиме линейного программированного повышения температуры катализатора

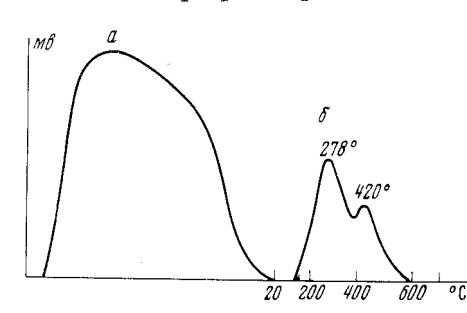


Рис. 1. Термодесорбция водорода из 0,2 г Рd-черни. a — десорбция растворенного водорода в изотермических условиях при  $20^\circ$ ;  $\delta$  — десорбция адсорбированного водорода в условиях линейного повышения температуры катализатора

из палладиевой черни, приготовленпой по методу Зелинского (1). Метоэксперимента И эксперименпика установка описаны таньная ранее (2). Метод термической десорбции, в отличие от ранее применяемых, в основном электрохимических, исследований  $(^{3-7})$ , на наш взгляд, позволяет более четко дифференцировать формы сорбированного палладиевым катализатором водорода. Бызамечено, что после обработки палладиевой черни водородом (20— 22°) последний может десорбироваться с постоянной скоростью в потоке аргона \* в изотермических условиях при комнатной и более низкой температурах. Количество выделяющегося

водорода определенное по площади пика разбаланса моста катарометра (рис. 1, a) и по данным хроматографического анализа, составляло 57,6 мл на 1 г Рd-черни. Количество десорбированного водорода возрастало при постоянной скорости его выделения пропорционально количеству ката-

(рис. 2). В табл. 1 лизатора представлено влияние температуры на скорость десорбции водорода. Как видно из приведенных данных, логарифмы скородесорбции находятся линейной зависимости от обраттемпературы ной величины (рис. 3). Совокупность полученных данных позволила рассчитать по формуле Аррениуса энергию активации десорбции, значение которой при изменетемпературы адсорбпии (табл. 1) колебалось от 5,9 до 8,9 ккал/моль.

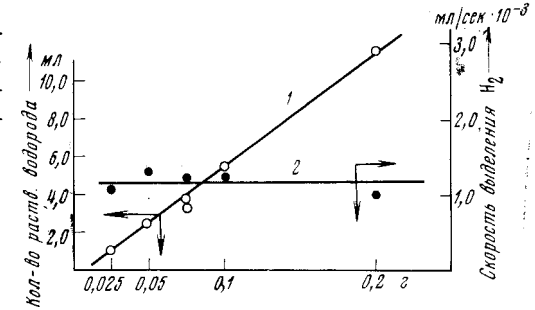


Рис. 2. Зависимость количества растворенного водорода (1) и скорости его выделения (2) от навески катализатора.  $T_{\rm agc}=60^\circ;\ T_{\rm gec}=0^\circ,\ \tau_{\rm agc}=1$  час

Полученные результаты находятся в согласии с литературными данными об энергии активации десорбции растворенного водорода из палладия ( $^8$ ,  $^9$ ); найденные значения энергии активации также близки к значениям теплот растворения водорода в палладии ( $^{10-12}$ ).

<sup>\*</sup> Аргон тщательно очищался от следов кислорода.

эпергии активации также близки к значениям теплот растворения водорода в палладии  $\binom{10-12}{2}$ .

Для выяснения природы десорбируемого в изотермических условиях водорода был проведен рептгеновский анализ \* Pd-черни до, после насыщения водородом и после обезводороживания последней (табл. 2).

Как видно (табл. 2), параметр кристаллической решетки палладия после пасыщения водородом увеличивается на 0,006 Å по сравнению с исходной палладиевой чернью. Это свидетельствует о растворении водорода в палладии и соответствует, как известно (<sup>13</sup>, <sup>14</sup>), контакту, в котором отпошение [H]: [Pd] равно 0,5—0,6. По полученным нами данным, отношение [H]: [Pd] составляет 0,58, что указывает на образование и сосуществование α- и β-фаз гидридов палладия (<sup>10</sup>, <sup>13</sup>). После десорбции водорода из палладия при 20° происходит сжатие кристаллической решетки металла и параметры ее возвращаются к размерам исходной черни.

Таблица 1 Влияние температуры на скорость десорбции растворенного в Рd-черни водорода

Т-ра адсорбции,	Т-ра дес	сорбции °К	Скорость десорб- ции водорода, мл.сек · 10-з	Сроднян ско- рость десорбции, мл/сек·10-3	Крайние значе- ния температур для расчета эпер- гми активации десорбции	Энергин актива- ции десорбнии $(E_{\rm LeC}),$ ккал/моль	Е <sub>дес</sub> среднян, ккал'моль
	<u> </u>	<u> </u>					
109	20-22	293—295 273	2,86; 3,17; 2,84 1,25	$\frac{2,96}{1,25}$	294—273 294—258,5	6,29 6,26	5,9
60	-14÷15 20-22	259—258 293—295	0,65; 0,69 2,9	0,67 2,90	273—258,5 294—273	5,15 6,93	
00	0 -14÷15	273 259—258	1,32; 0,92; 1,3 0,37; 0,51; 0,73	1,16 0,54	294—258,5 273—258,5	7,14 5,4 7,35	7,1
20-22	20-23	293-296	3,22; 3,3, 3,05	3,19	294,5-273	7,35 8,25	8,3
	15	273 258	1,24; 1,23; 0,93 0,39; 0,37; 0,42	1,13 0,40	294,5—258 273—258	9,4	0,0
0	20-25	293—298 273	2,66; 2,97 1,23	2,81 1,23	295,5—273 295,5—259	5',85 7,21	7,4
30	-13÷-15 20	260—258 293	0,43; 0,58; 0,44	0,49 3,0	273—259 293—273	$9, \overline{2} \\ 7, 24$	
	_30	273 243	0,97; 1,33 0,11; 0,11	1,2 0,11	293-243 273-243	9,3 10,4	8.9

Таблица 2 Влияние сорбированного водорода на параметры кристаллической решетки палладиевой черни

Катализатор	Размер параметра (а) решетки, А	Размер крис- талла, А	[H] [Pd]
Исходиая Рd-чернь Рd-чернь, насыщенная водородом при 20° Рd-чернь после десорбции водорода в токе аргона при 20°	3,881—3,884 3,887—3,900 3,881—3,884	90 96 96	0,58

Из анализа литературных данных (4, 5, 14-18) известно, что скорость десорбции растворенного водорода из палладия лимитируется либо процессом диффузии водорода в металле, либо скоростью выхода его на поверхность. Очевидно, определенные нами энергии активации десорбции характеризуют эти процессы.

На рис. 1, б представлена термодесорбция адсорбированного палладием водорода в потоке инертного газа в условиях липейпого повышения температуры образда ( $10^\circ/\text{мин}$ ). Программированное повышение темпе-

<sup>\*</sup> Анализ проводился на рентгеновском дифрактометре общего назначения ДРОН-1 с  $\mathrm{Cu}-K_{\alpha}$ -излучением.

ратуры катализатора (до  $600^{\circ}$ ) начиналось, в отличие от ( $^{12}$ ), после полного удаления растворенного водорода в изотермических условиях при  $20^{\circ}$ . Из рис. 1 видно, что после десорбции растворенного водорода (кривая a) адсорбированный на налладии водород (2,4-2,6 мл на 1 г Pd-черни) выделяется в двух температурных областях (кривая 6)  $120^{\circ}-380^{\circ}$  и  $380-600^{\circ}$  с максимальной скоростью десорбции при 270 и  $425^{\circ}$  соот-

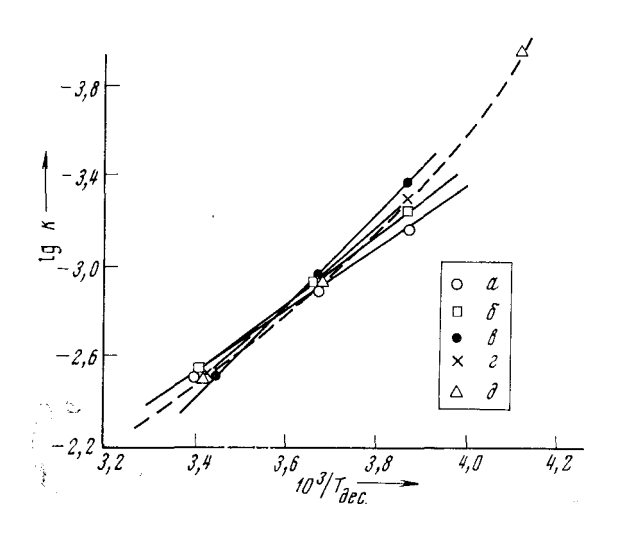


Рис. 3. Зависимость  $\lg k$  от обратной величины температуры при десорбции растворенного водорода из этом Рd-черпи.  $a-100^\circ$ ,  $b-60^\circ$ ,  $b-20^\circ$ ,  $b-20^\circ$ ,  $b-30^\circ$  изоте

ветственно. Хроматографический анализ показал, выделяющийся газ в областях обеих представлял собой водород примесей. Очевилно. идп линейном повышении температуры катализатора выделяется, в отличие от энергетически однородного слабосвязанного растворенного водорода, более прочно связанный водород, адсорбированный в двух формах на поверхности палладиевой черни. Для подтверждения пеоднородности адсорбированного водорода была проведена ступенчатермодесорбция.

тая термодесорбция. При этом после удаления в изотермических условиях растворенного водорода из нагрев, а затем термо-

катализатора производился программированный нагрев, а затем термостатирование образца при температурах: 120, 210, 310, 405 и 570°. Опыты показали, что водород десорбируется только в условиях повышения температуры катализатора. Общее количество десорбированного водорода соответствует тому количеству, которое выделяется при непрерывном линейном нагреве. Полученные результаты свидетельствуют о том, что десорбция адсорбированного водорода в широком диапазоне температур является следствием энергетической неоднородности поверхности палладиевой черпи по отношению к адсорбированному водороду.

Уменьшение величины поверхности палладиевой черни (с 20 до 4.4 м²/г), которое достичалось прогревом черни до 600° в атмосфере аргона (размер присталлов при этом возрастал от 90 до 190 Å), не влияло на содержание растворенного водорода, количество адсорбированого при этом резко уменьшалось (с 2,5 до 0,3 мл/г). Эти результаты находятся в согласии с данными (5) по исследованию палладиевой черии методом кривых заряжения.

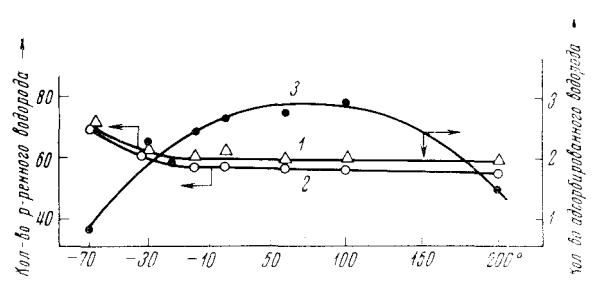
Таким образом, совонупность полученных данных позволяет утверждать, что в палладиевой черни, насыщенной водородом при  $20^\circ$ , сосуществуют три формы водорода: растворенный в решетке налладия водород, выделяющийся полностью при инзких температурах в изотермических условиях, две формы адсорбированного водорода, десорбция которых происходит в интервале температур  $120-600^\circ$  с  $T_{\rm M}=270$  и  $425^\circ$  соответственно. Предположения о существовании двух форм адсорбированного водорода на налладии высказывались ранее на основании электрохимических измерений адсорбции водорода на налладии ( $^5$ ,  $^7$ ,  $^8$ ,  $^{20}$ ). Нами впервые этот факт установлен экспериментально и оценен количественно.

Представляло интерес выяснить влияцие температуры и продолжительности адсорбции на количественное соотношение различных форм сорбированного палладием водорода. Увеличение времени адсорбции

водорода от 1 до 200 мин. не влияло на содержание растворенного водорода, количество же адсорбированного незначительно увеличивалось, и после 30-минутной обработки практически оставалось постоянным.

На рис. 4 представлены данные, полученные нами при изменении температуры адсорбции от -70 до  $+200^{\circ}$  (30 мин.). Как видно, увеличение

температуры сорбции волорода от -70 до  $+200^{\circ}$  (величина поверхности черни при этом практически оставалась постоянной, 20 - $23 \text{ m}^2/\Gamma$ сопровождается уменьшением общего содержания водорода в основном за счет уменьшения его растворения в палладии. Отношение [Н] общ: 13). Кривая зависимости количества адсорбированного



: [Pd] общ падает от 0,65 до Рис. 4. Влияние температуры адсорбции па общее согласуется с содержание водорода в палладии (1), количество данными других авторов (<sup>8</sup>, растворенного водорода (2) и количество адсорбированного водорода (3)

водорода от температуры предварительной обработки черни проходит через максимум при 100°. При этом отношение числа адсорбированных атомов водорода к числу поверхностных атомов палладия составляет 0,65. Изменение температуры сорбции в сторону более низких или более высоких температур приводит к уменьшению этого соотношения.

Таким образом, метод температурно-программированной десорбции водорода из Рd-черни позволяет разграничить формы сорбированного палладием водорода, выявить количественные соотношения между ними и установить существование двух резко отличных типов активных центров на поверхности Рф-черни по отношению к адсорбированному водороду.

Институт органического катализа и электрохимии **Академии** наук КазССР Алма-Ата

Поступило 13 XI 1972

## ИИТИРОВАННАЯ ЛИТЕРАТУРА

4 Н. Д. Зелинский, Собр. тр. Изд. АН СССР, 3, 1955, стр. 274. <sup>2</sup> Д. В. Сокольский, Н. М. Понова и др., Сбори. тр. ИН Всесоюзи. конфер. по каталитич. реакциям в жидкой фазе, Алма-Ата, 1972. <sup>3</sup> А. И. Стеценко, И. И. Твердовский, ЖФХ, 26, 647 (1952). <sup>4</sup> Ж. Л. Верт, И. А. Мосевич, И. И. Твердовский, ДАН, 449, 449 (1964). <sup>5</sup> Р. Х. Буритейн, М. Р. Тарасевич, В. С. Вилинская, Электрохимия, З. № 3, 349 (1967). <sup>6</sup> Ю. А. Подвязкий, О. Р. Сергуткина, ЖФХ, 44, № 5, 1227 (1970). <sup>7</sup> Д. Х. Чурина, Г. Д. Закумбаева, Д. В. Сокольский, Электрохимия, 6, № 7, 1039 (1970). <sup>8</sup> Ю. И. Баловиев, Еннетика и катализ, 10, № 6, 4385 (1989). <sup>9</sup> О. Piringer, E. Татати, Coll. Gas-Chromatographic, Berlin, 1965, S. 425. <sup>19</sup> А. И. Федорова, А. Н. Фрумкин, ЖФХ, 27, № 2, 247 (1953). <sup>11</sup> Р. Nylen, Zs. Elektrochem., 43, 915 (1937). <sup>12</sup> А. W. Aldag, L. D. Schmidt, J. Catalysis, 22, № 2, 260 (1971). <sup>13</sup> А. Р. Убеллоде, Уси. хим., 7, № 41, 1692 (1938). <sup>14</sup> Р. Бэррер, Диффузия в твердых темах, ИЛ, 1948. <sup>15</sup> Ю. И. Баловиев, ЖФХ, 43, № 10, 2461 (1969). <sup>16</sup> К. D. Allard, T. G. Flangan, E. Wicke, J. Phys. Chem., 74, № 2, 298 (1970). <sup>17</sup> V. Breger, E. Gileadi, Electrochim acta, 16, № 2, 177 (1971). <sup>18</sup> А. Н. Гильманов, В. Д. Ланшинидр., Электрохимия, 5, № 12, 1438 (1969).